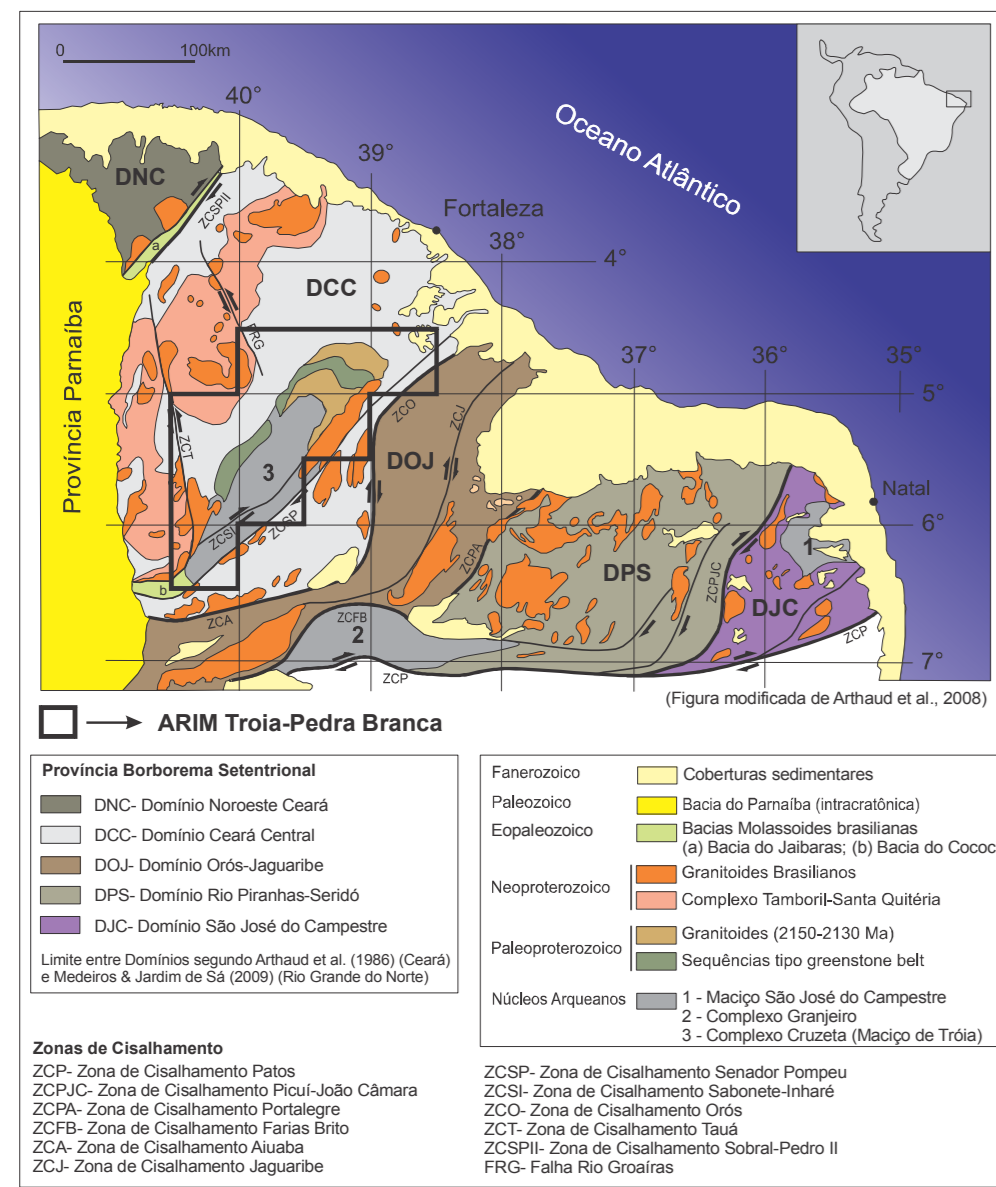
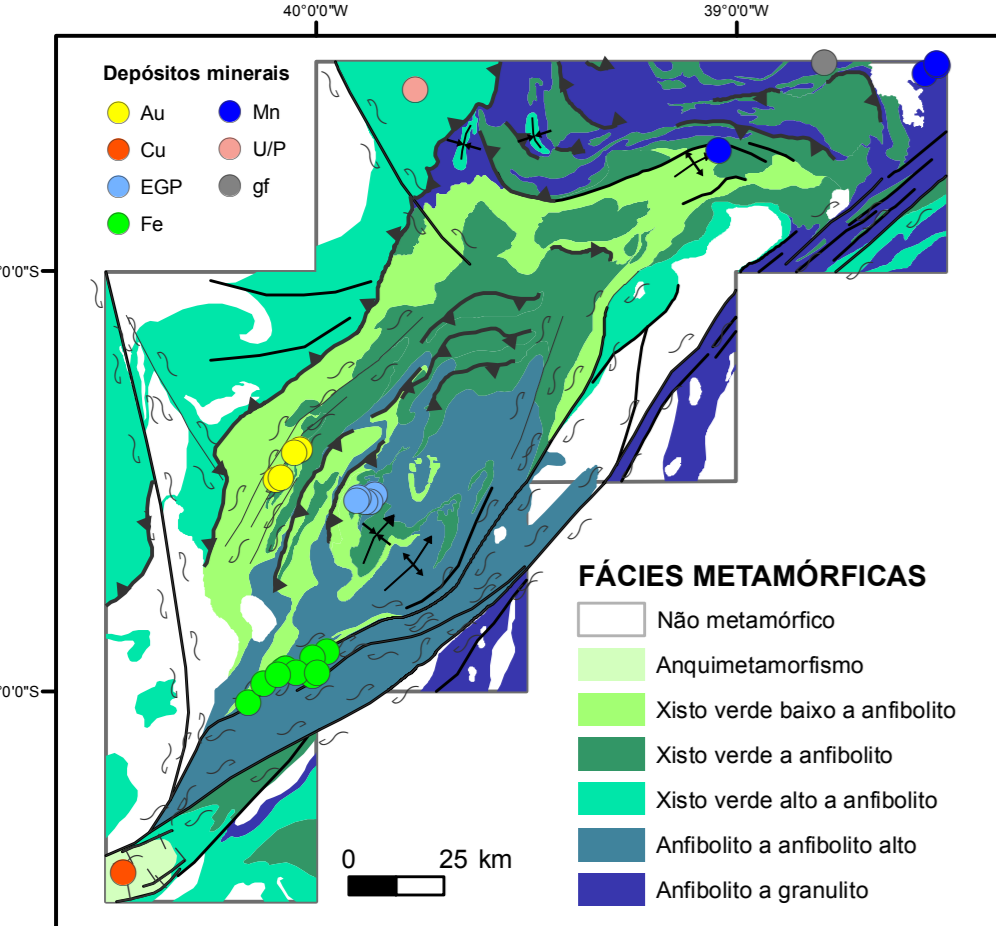


ENCARTE TECTÔNICO

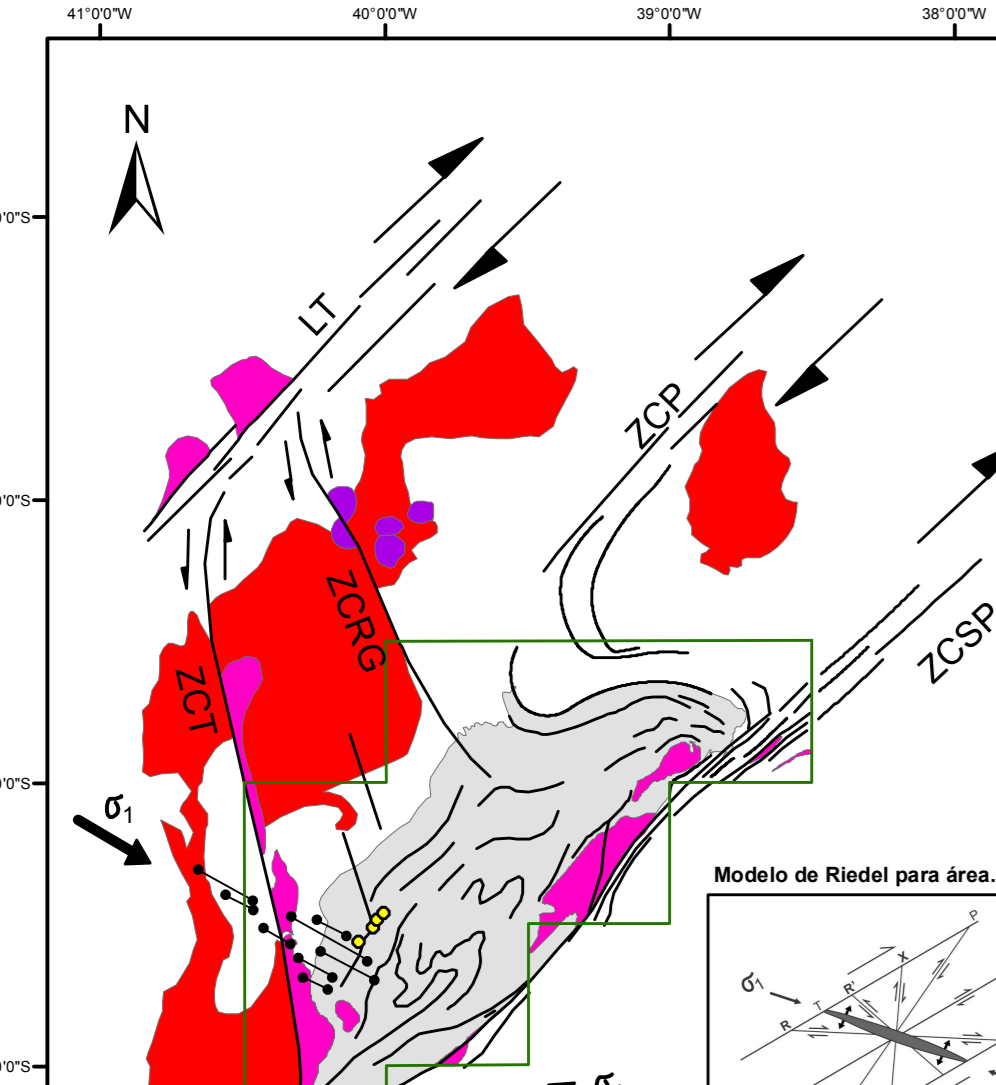


MAPA DE METAMORFISMO



INTERPRETAÇÃO TECTÔNICO-MAGMÁTICA-ESTRUTURAL

Interpretação tectônica acerca dos corpos plutônicos neoproterozoicos com destaque para as principais zonas de cisalhamento da região:



INTERPRETAÇÃO TECTÔNICO-ESTRUTURAL EM IMAGEM AEROGEOFÍSICA REGIONAL

A imagem corresponde ao campo anômalo total, reduzido ao polo magnético, exibindo uma superposição de fontes magnéticas entre as profundidades de 3 e 10 km

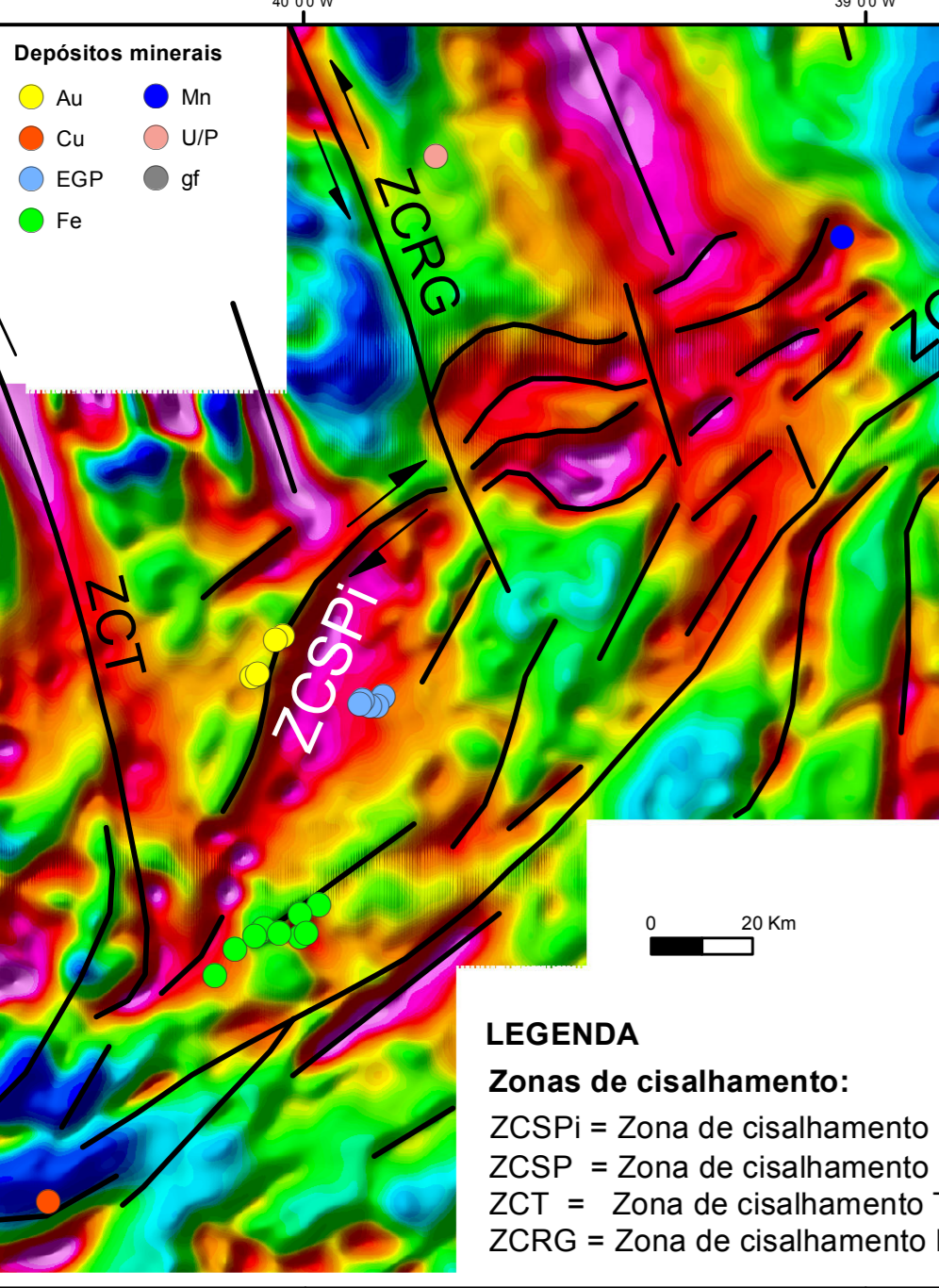


Imagem magnetométrica (Primeira derivada vertical)

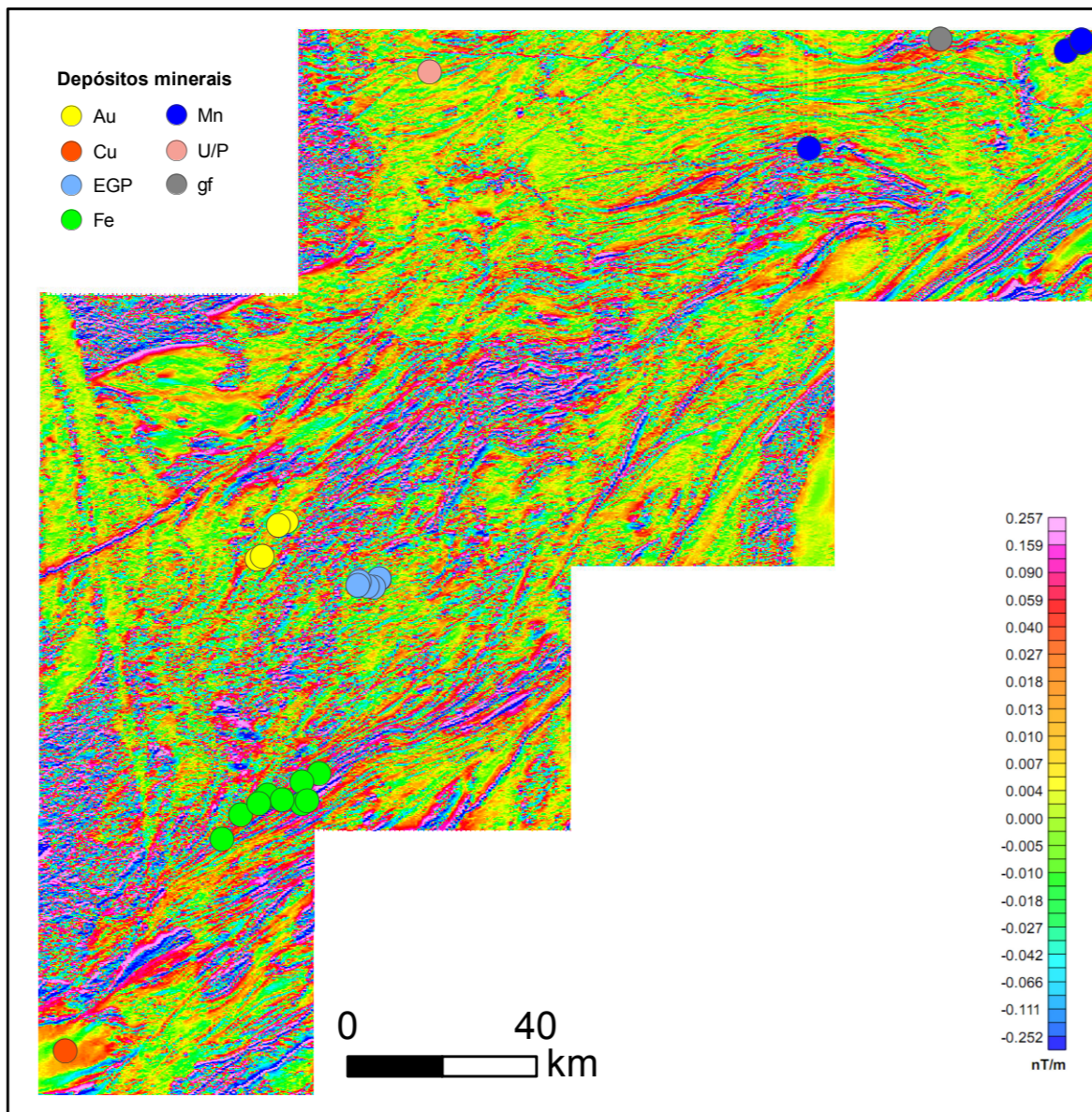
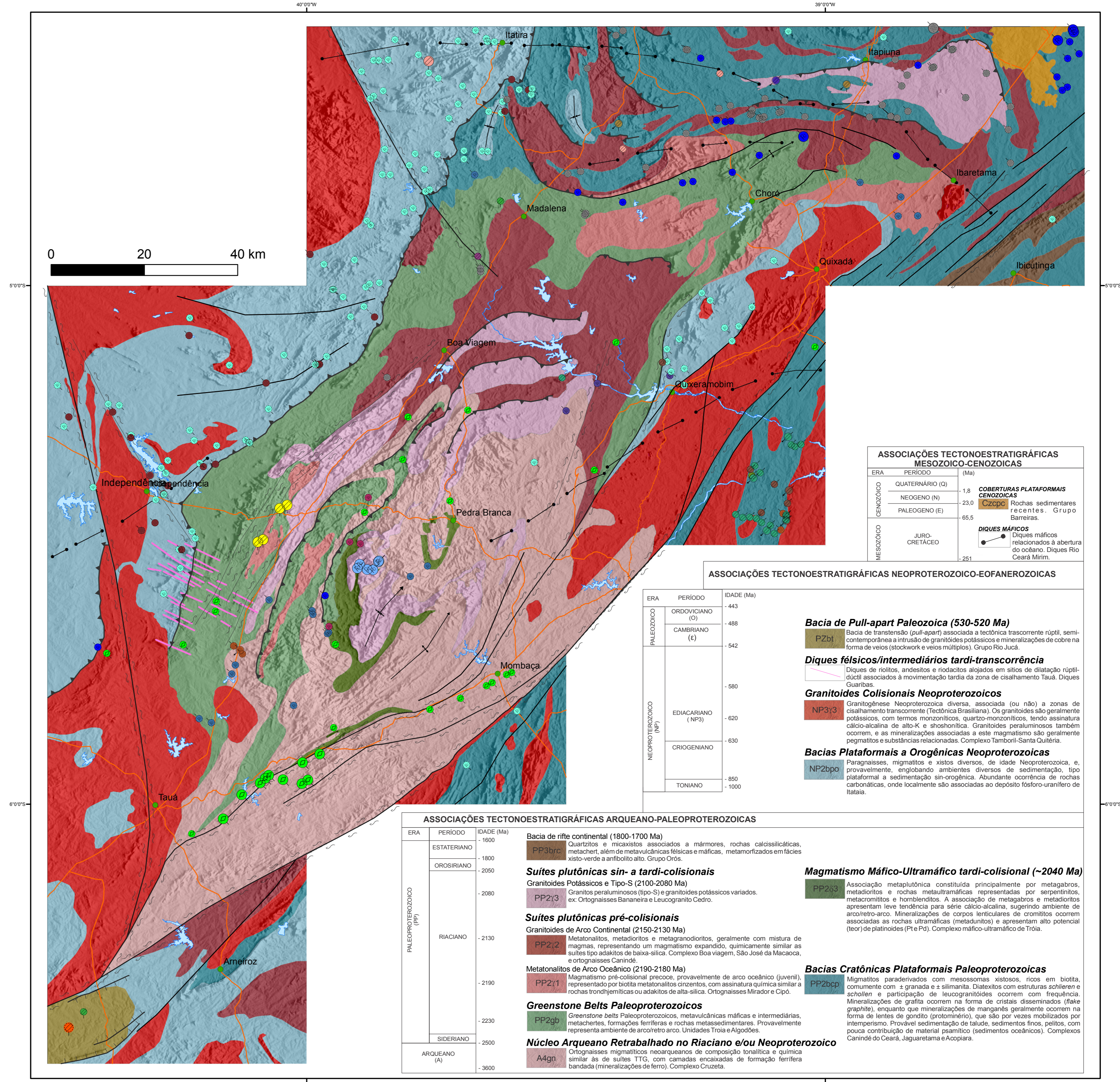
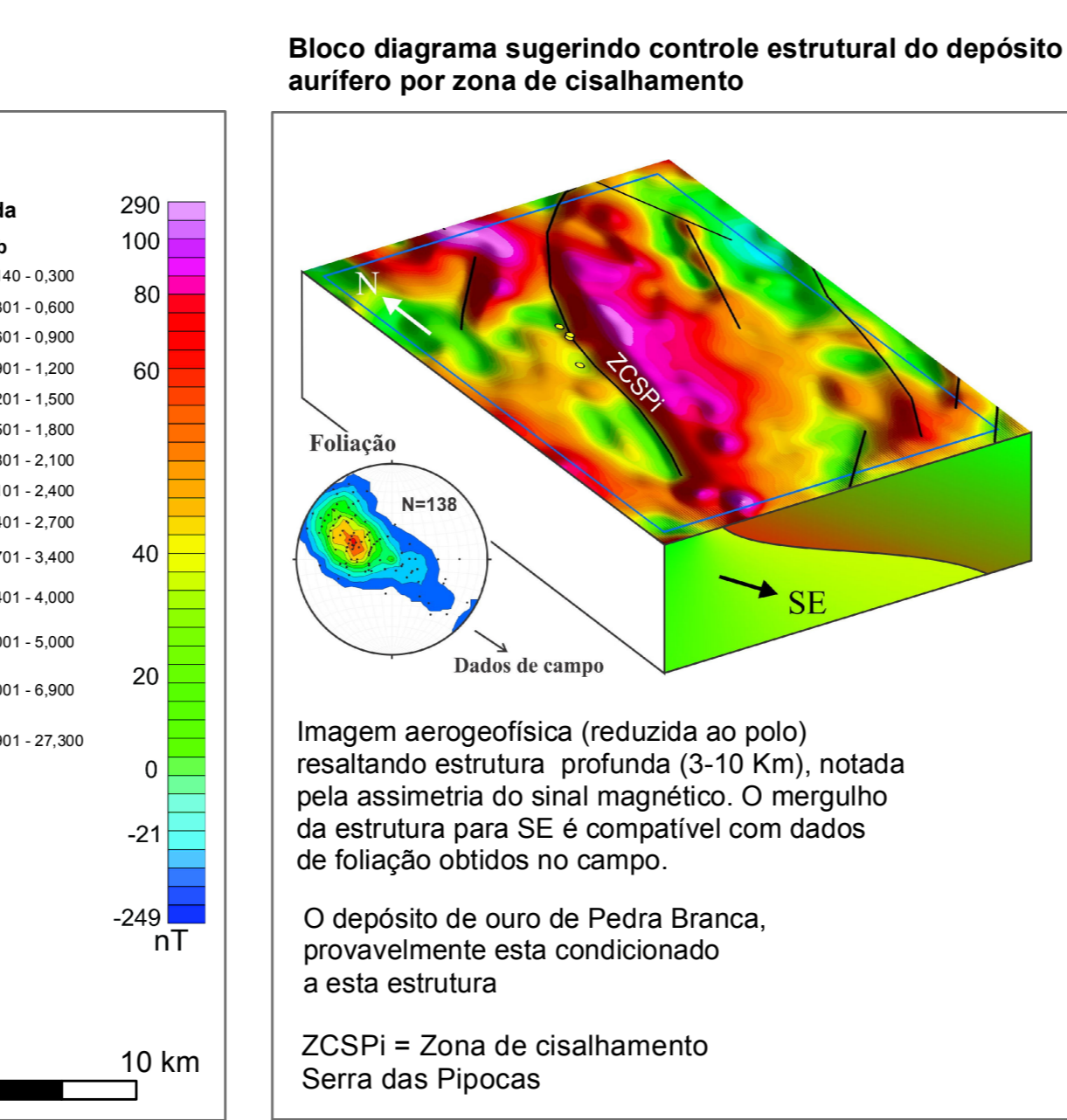
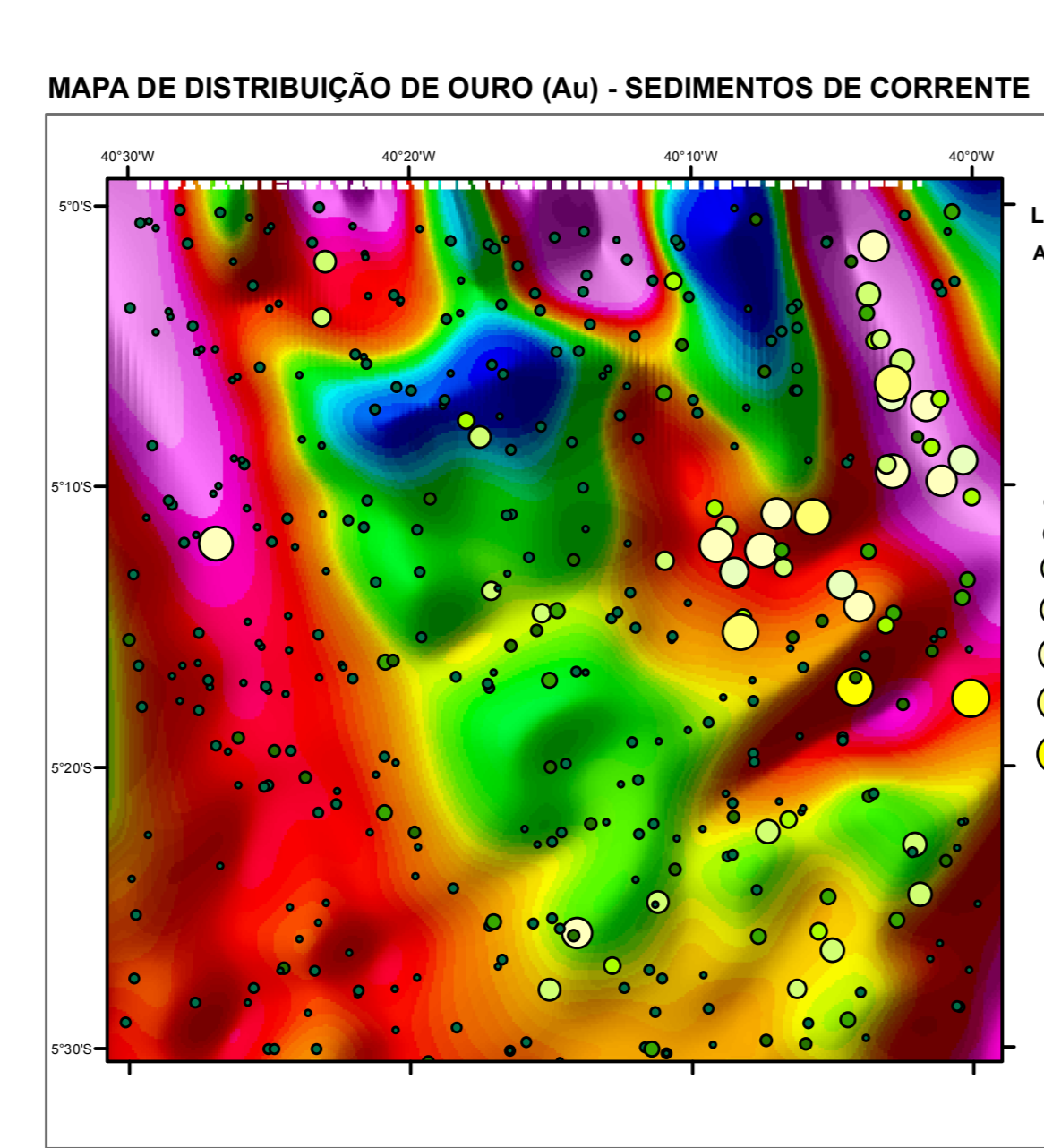
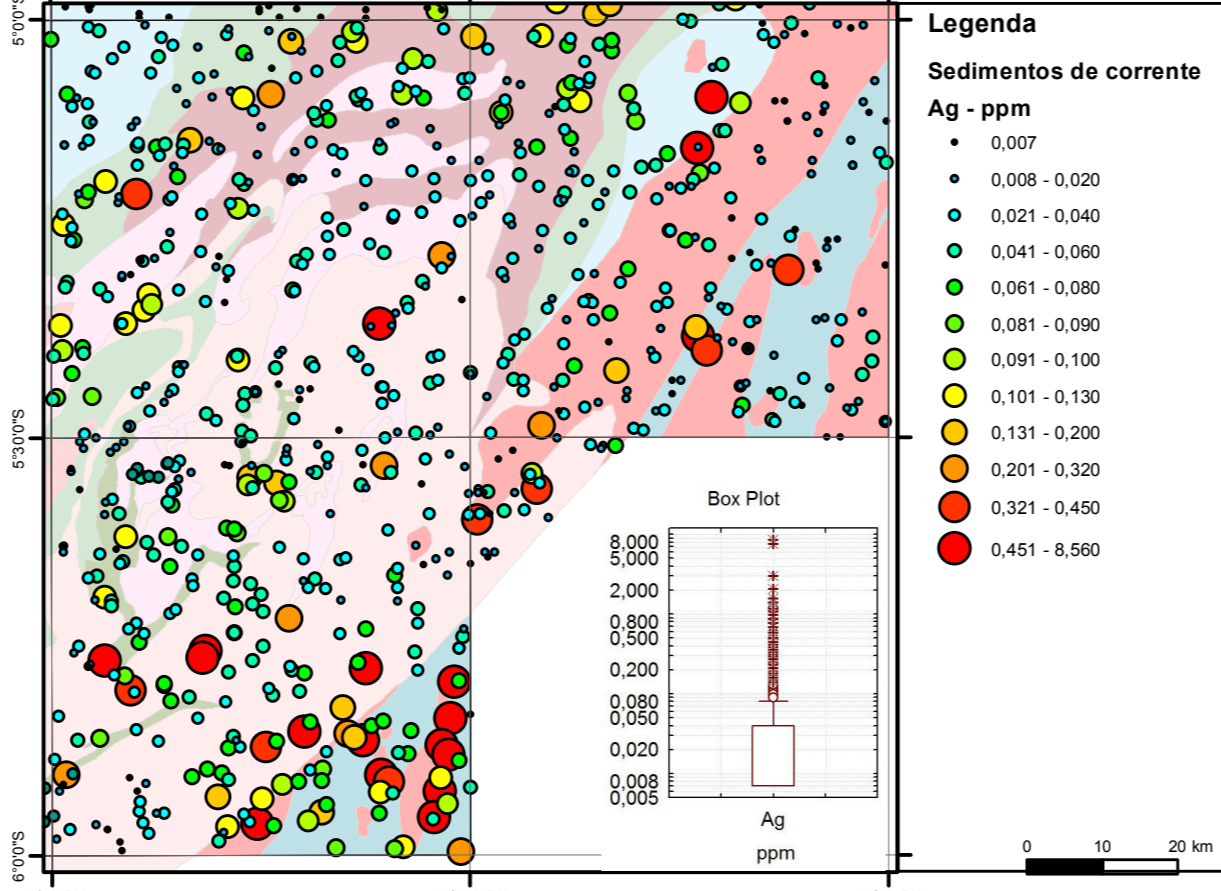
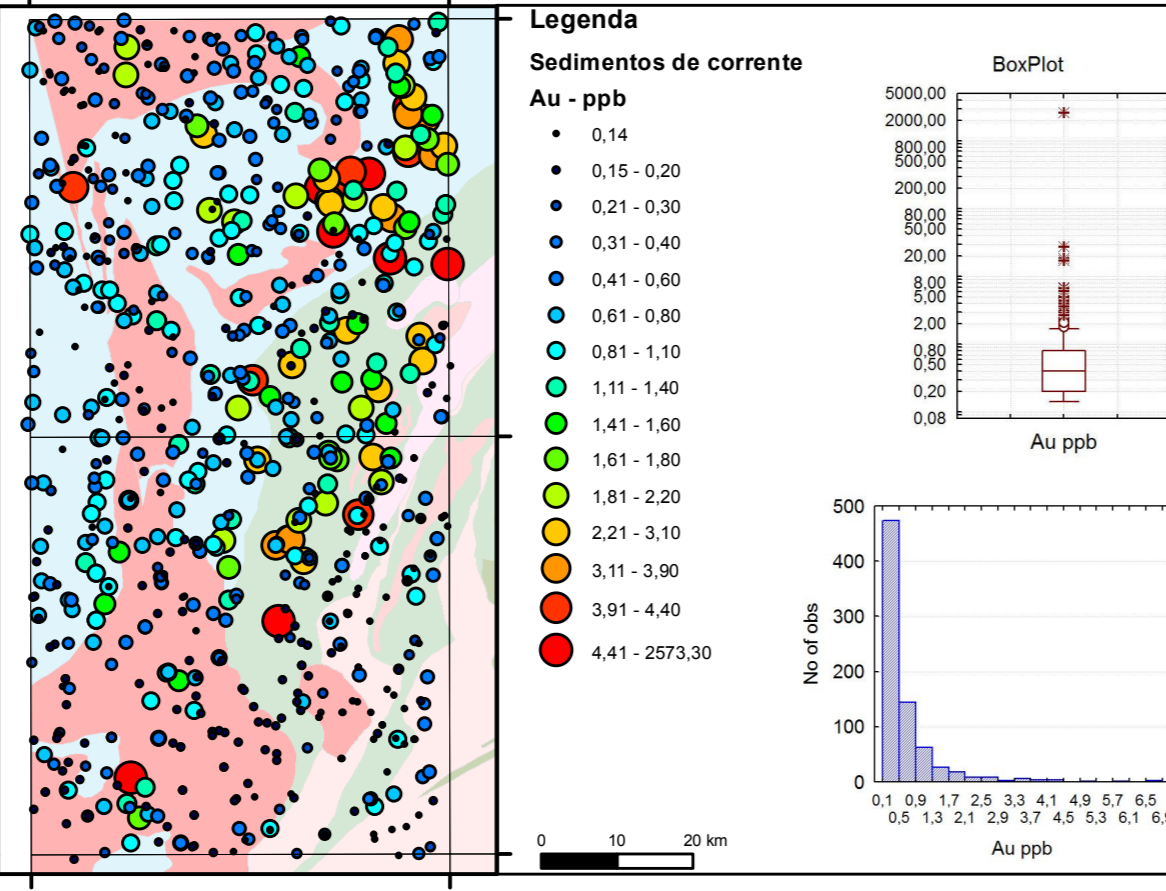
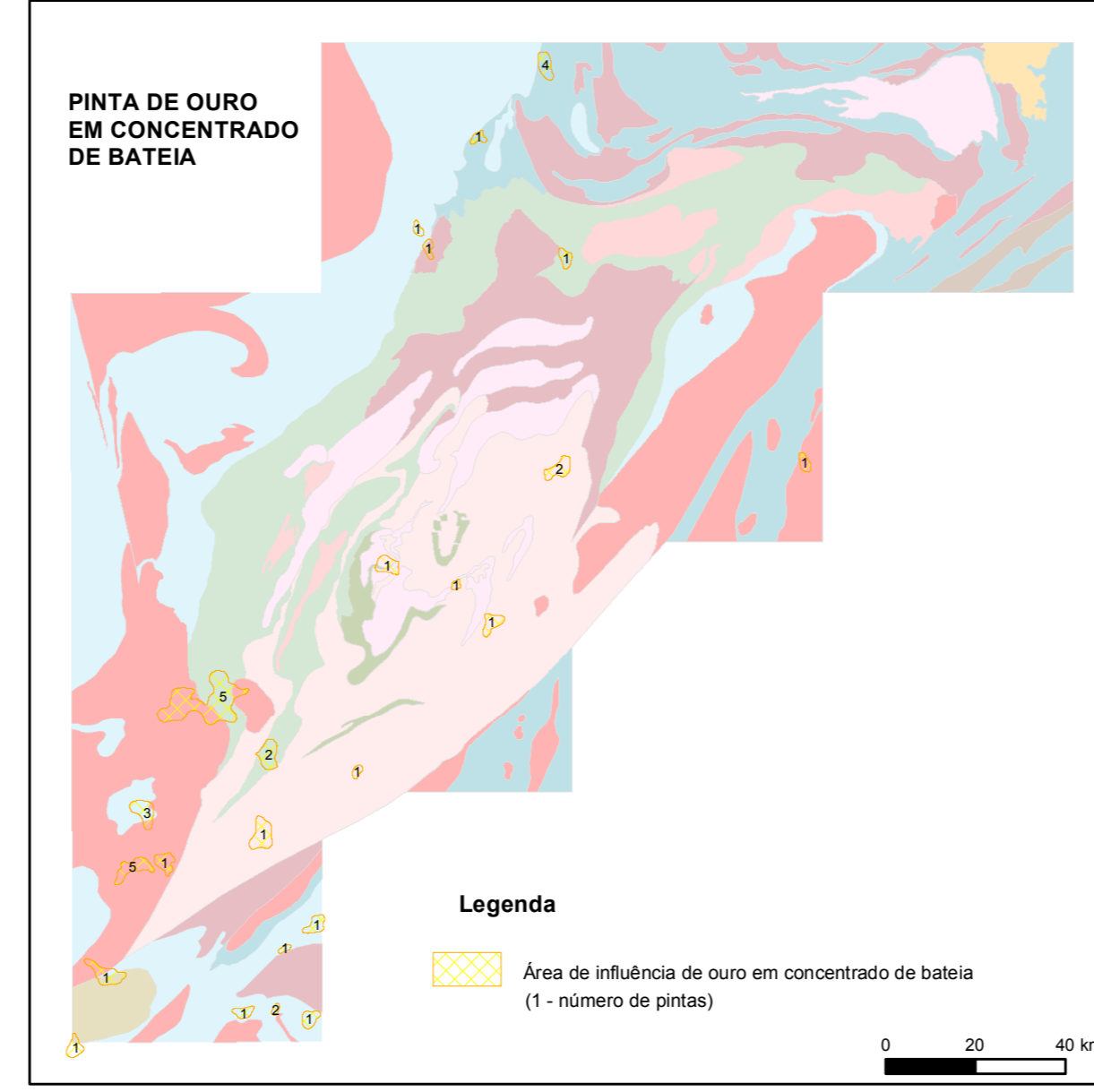
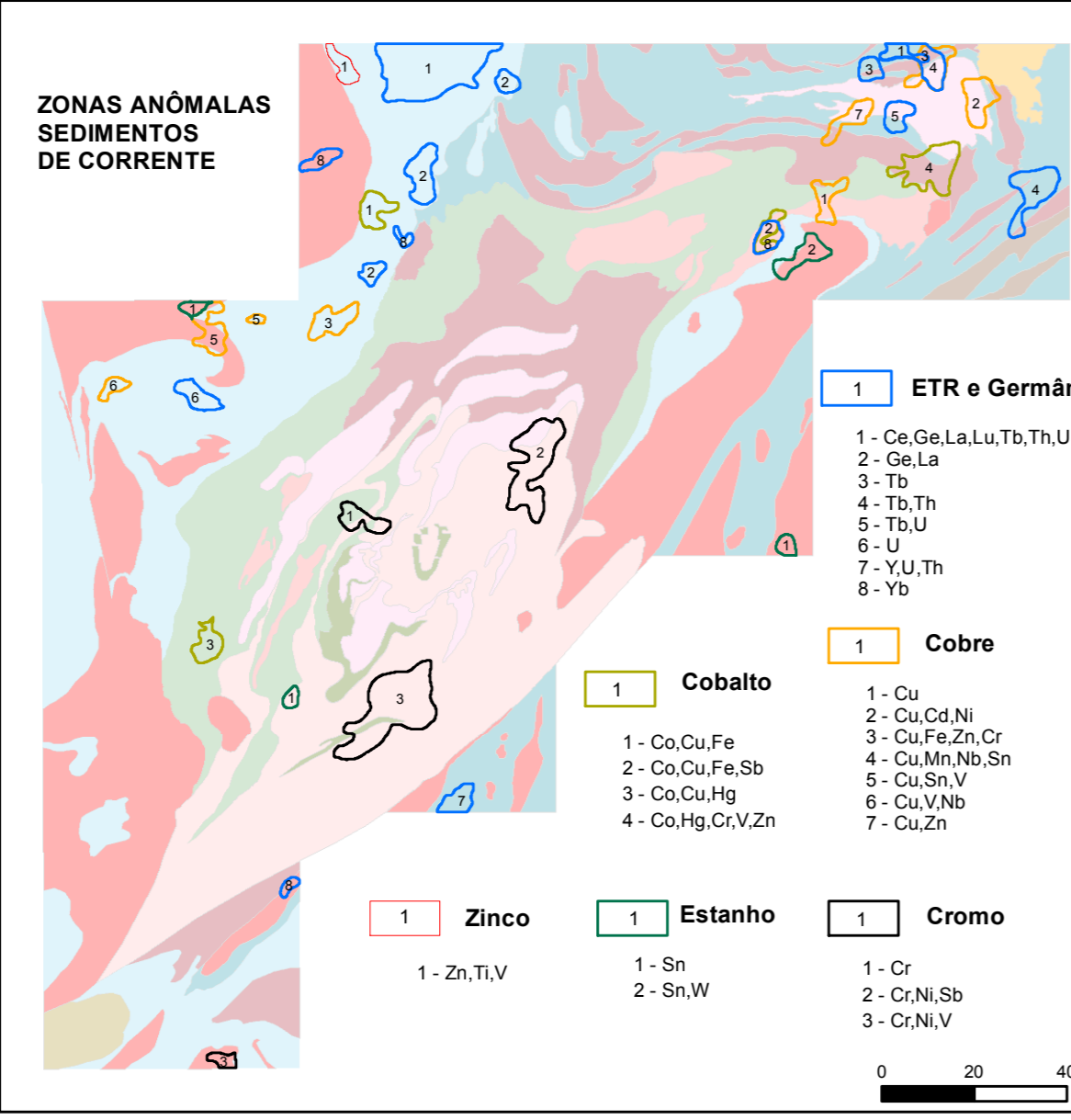
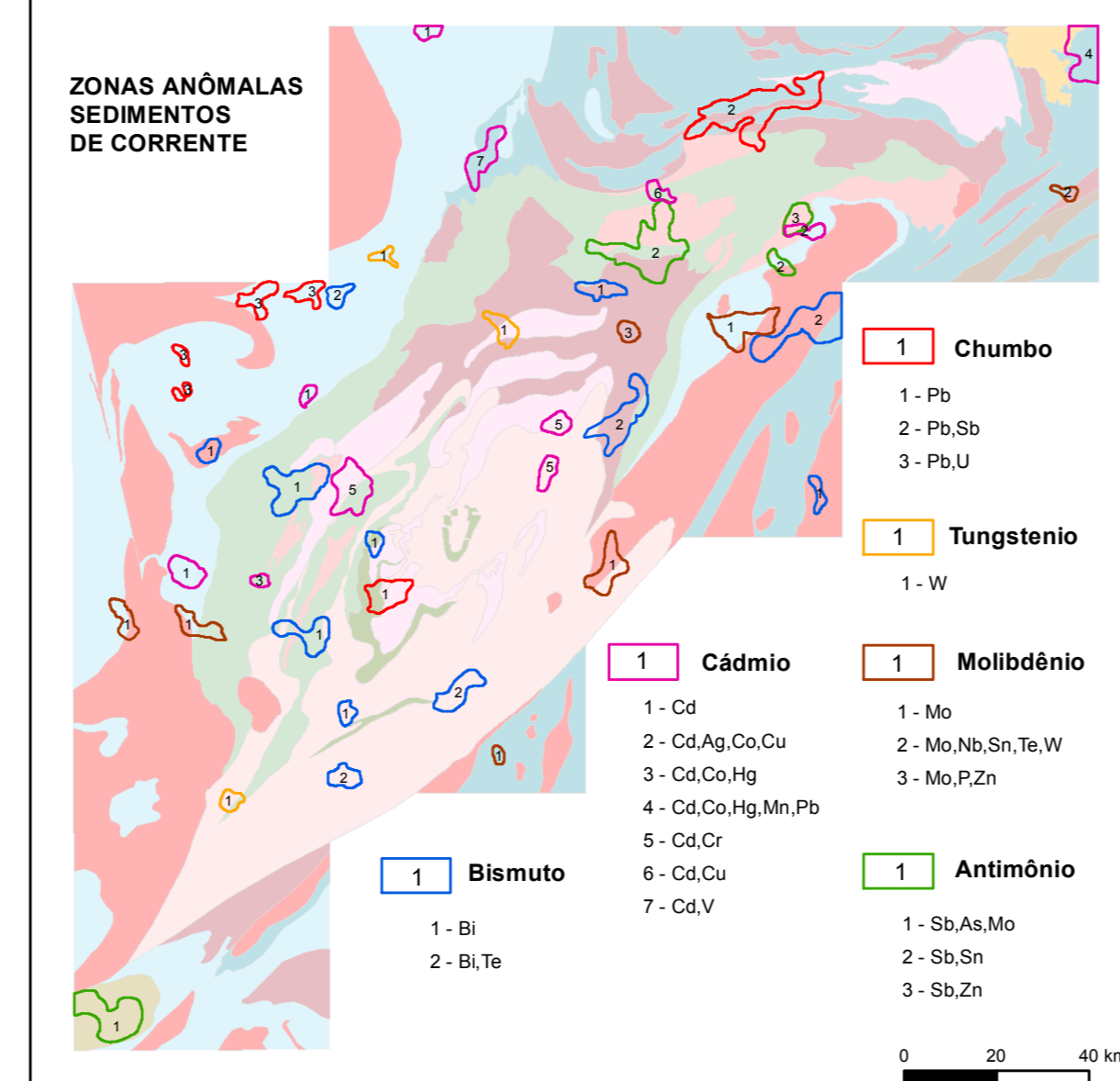
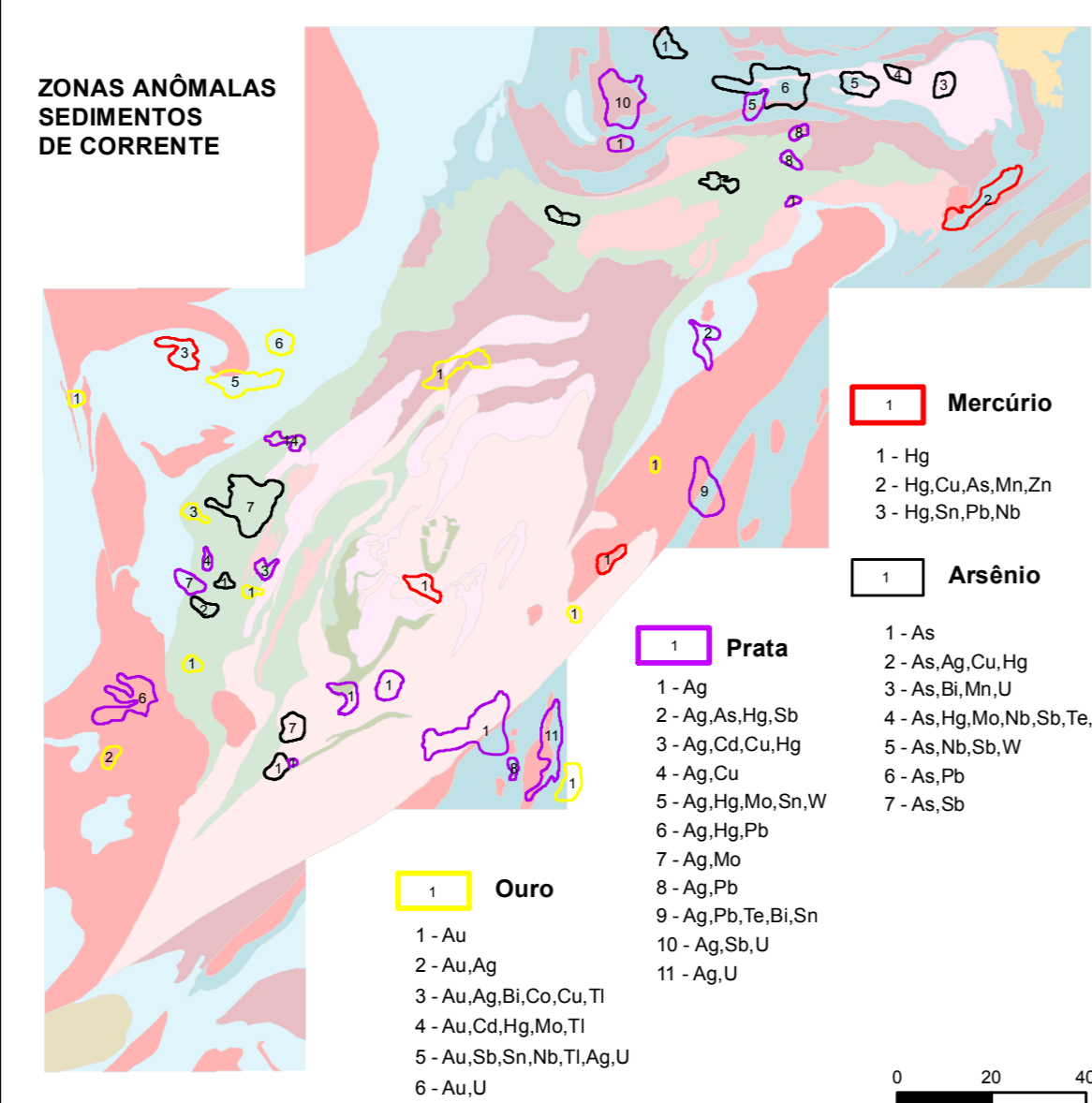
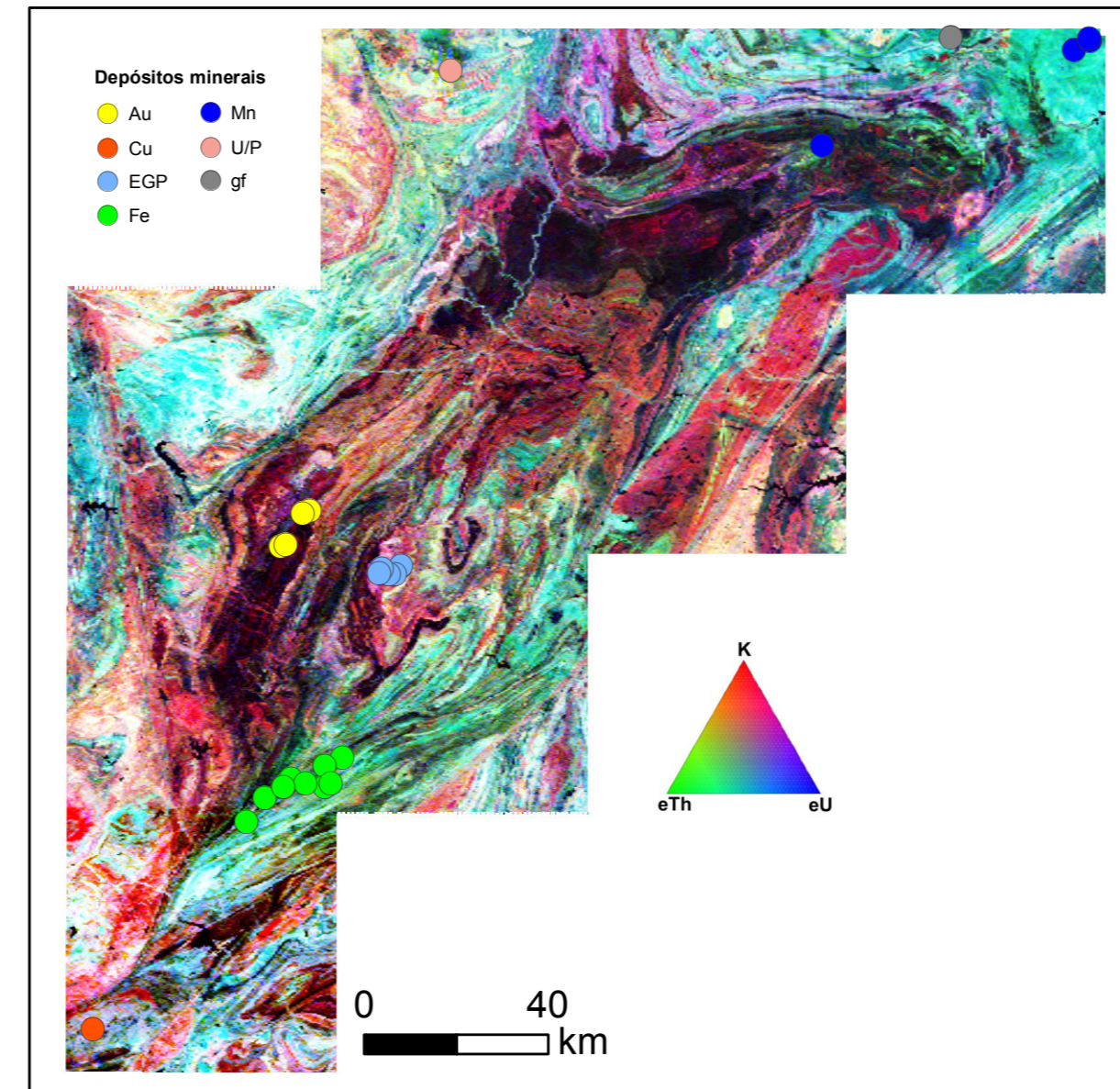


Imagem gamaespectrométrica - composição ternária (RGB)-K-Th-U



EQUIPE TÉCNICA E APOIO		CONVENÇÕES GEOLÓGICAS		CONVENÇÕES CARTOGRAFICAS	
<p><b>Autores</b> Geologia e Recursos Minerais Felipe Grandjean da Costa Bruno de Oliveira Calado João Luiz Carneiro Naleto</p> <p><b>Petrografia</b> Iaponira Paiva Gomes</p> <p><b>Geocímica de Prospecção</b> Bruno de Oliveira Calado José Maria Aladim Rocha</p> <p><b>Geofísica</b> Tercy Rinaldo Gonçalves Pinó Frederico R.F.R. de Oliveira e Souza</p> <p><b>Cartografia Digital &amp; SIG</b> Tercy Rinaldo Gonçalves Pinó</p> <p><b>Colaboradores</b> Angela Pacheco Lopes Mariane Martins Dornas Marcel Leonard Besser</p>		<p>— Zona de cisalhamento dextral</p> <p>— Zona de cisalhamento compressional</p> <p>— Zona de cisalhamento sinistral</p> <p>— Zonas de cisalhamento indiferenciadas</p> <p>— Sinforme</p> <p>— Sinforme com caimento</p> <p>— Antiforme com caimento</p> <p>— Falha normal</p>	<p>● Cidade</p> <p>— Ferrovia</p> <p>— Rodovia pavimentada</p> <p>— Rodovia não pavimentada</p> <p>— Curso de água perene</p> <p>— Corpo d'água</p>		

